

Implementasi Lightweight Cryptography untuk Keamanan Data pada Sistem Komunikasi LoRa

Jundi Abdillah Mundzir dan Wirawan

Departemen Teknik Elektro, Institut Teknologi Sepuluh Nopember (ITS)

e-mail: wirawan@ee.its.ac.id

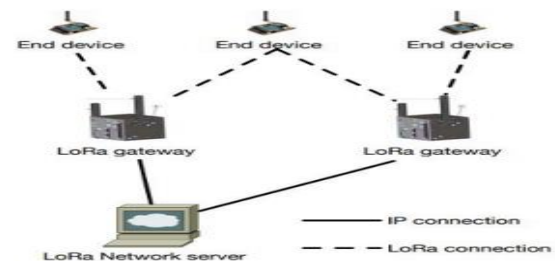
Abstrak—Seiring berkembangnya sistem komunikasi LoRa, muncul tantangan yang harus dihadapi berkaitan dengan keamanan data yang ditransmisikan. Akan tetapi, upaya implementasi keamanan data menghadapi tantangan terkait keterbatasan *resource* pada *constrained device* LoRa, misal kemampuan komputasi dan memori. Oleh karena itu, algoritma *lightweight cryptography* diperlukan pada *constrained device* untuk menjaga keamanan data selama proses transmisi menggunakan LoRa karena tidak menggunakan banyak *resource* dan ringan secara komputasi. Penelitian ini mengusulkan kombinasi algoritma *Advanced Encryption Standard* (AES) dan *Message Authentication Code* (MAC). Untuk proses enkripsi dan dekripsi pesan digunakan algoritma kriptografi simetris *block cipher* tipe AES-128 dan AES-256, sedangkan untuk proses autentikasi pesan digunakan algoritma HMAC-SHA3 dan AES-CMAC. Kombinasi antara algoritma enkripsi dan autentikasi diharapkan mampu menjamin tiga aspek keamanan data, yaitu *confidentiality*, *integrity*, dan *authentication*. Berdasarkan hasil penelitian menunjukkan bahwa kombinasi algoritma *lightweight cryptography* yang diusulkan telah mampu menjaga tiga aspek keamanan data yaitu *integrity*, *authentication*, dan *confidentiality*. Semua algoritma *lightweight cryptography* yang diusulkan juga dapat diterapkan pada *constrained device* kelas 0. Kombinasi algoritma AES 128 dan CMAC memiliki total waktu komputasi dan sumber daya yang paling efisien.

Kata Kunci—AES, CMAC, HMAC, LoRa, *Constrained Device*.

I. PENDAHULUAN

LoRa merupakan salah satu media transmisi nirkabel yang banyak diterapkan pada *Internet of Things*. LoRa dirancang untuk dapat mentransmisikan data jarak jauh dengan konsumsi daya dan *bit rate* yang rendah. Salah satu tantangan implementasi LoRa pada *Internet of Things* adalah pengembangan sistem keamanan pada transmisi datanya. Hal ini karena tidak adanya proses enkripsi pada *payload* data [1]. Selain itu, terdapat beberapa ancaman keamanan pada komunikasi *point to point* LoRa seperti *man in the middle attack* dan *eavesdropping*. Serangan-serangan ini sangat membahayakan karena dapat mencuri dan memanipulasi data yang ditransmisikan melalui LoRa.

Untuk membuat sistem keamanan data pada perangkat IoT perlu memperhatikan kapasitas perangkat. Hal ini karena salah satu karakteristik perangkat IoT adalah kapasitas *resource* yang terbatas atau sering dikenal sebagai *constrained device*. Keterbatasan *resource* dapat berupa terbatasnya ukuran memori, keterbatasan daya serta keterbatasan kemampuan komputasi. Hal ini menyebabkan terbatasnya kemampuan perangkat untuk dieksplorasi [2]. Oleh karena itu, diperlukan algoritma kriptografi ringan (*lightweight cryptography*) yang dapat diimplementasikan



Gambar 1. Topologi LoRa.

pada perangkat IoT untuk menjaga keamanan data selama proses transmisi menggunakan LoRa.

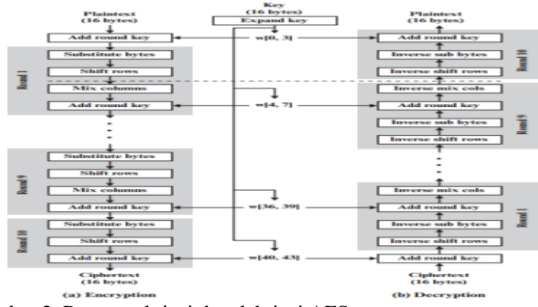
Pada penelitian ini penulis ingin mengkaji implementasi beberapa metode keamanan data dengan memanfaatkan algoritma *lightweight cryptography* pada proses transmisi data menggunakan LoRa. Algoritma kriptografi yang akan digunakan pada penelitian ini meliputi algoritma enkripsi AES dan algoritma autentikasi HMAC dan CMAC. Aspek keamanan yang akan diuji pada penelitian ini meliputi parameter *integrity*, *authentication* dan *confidentiality* [3]. Selain itu, peneliti juga akan mengkaji *overhead analysis* dari pengaruh penerapan algoritma *lightweight cryptography* yang berbeda pada *constrained device* IoT kelas 0.

II. TINJAUAN PUSTAKA

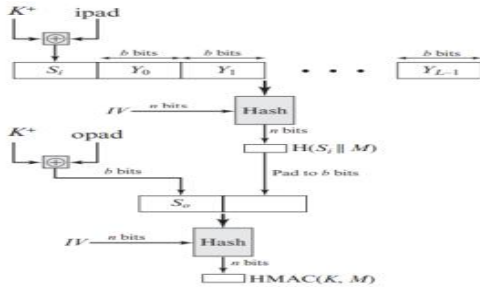
A. LoRa

LoRa atau “*Long Range*” merupakan sistem komunikasi *wireless* jarak jauh yang ditujukan untuk perangkat yang memiliki sumber daya terbatas. LoRa memiliki jangkauan komunikasi hingga 10 km dan memiliki *lifetime* baterai yang panjang, tetapi memiliki kecepatan data yang rendah [4]. *Bandwidth* LoRa berkisar antara 125 kHz sampai 500 kHz. Semakin besar *bandwidth* akan menyebabkan semakin tinggi kecepatan data, tetapi akan mengurangi jangkauan komunikasi. Daya transmisi LoRa berkisar antara -4 dBm sampai 20 dBm [5]. Jaringan LoRa dapat diaplikasikan pada *smart city*, *smart healthcare*, *smart farming* dan *environmental monitoring*. Pada Jaringan LoRaWAN terdapat beberapa komponen seperti *end device* (LoRa node), LoRa gateway, dan LoRa network server. Topologi LoRa ditunjukkan oleh Gambar 1.

LoRa node atau *end device* merupakan sensor atau aktuator yang memiliki kemampuan komputasi terbatas dan beroperasi menggunakan daya baterai. LoRa gateway merupakan *intermediate device* yang berfungsi meneruskan *radio packets* yang datang dari LoRa node ke LoRa network server dan sebaliknya. LoRa network server berfungsi menerima semua paket yang berasal dari LoRa gateway serta



Gambar 2. Proses enkripsi dan dekripsi AES.



Gambar 3. Struktur HMAC.

bertanggung jawab atas pemrosesan paket dan analisis protokol [6].

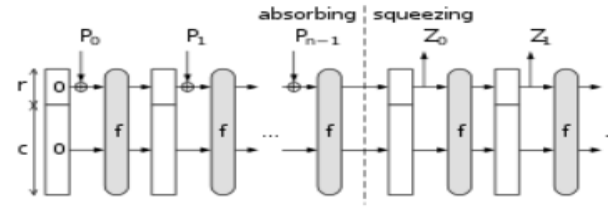
B. Ancaman Keamanan LoRa

Faktor keamanan menjadi salah satu tantangan yang harus diatasi dalam mendorong implementasi IoT secara luas. Risiko keamanan IoT dapat terjadi karena banyaknya entitas dan data yang terlibat sehingga dapat mengancam dan merugikan pengguna. Ancaman ini dapat berupa akses oleh orang yang tidak berwenang untuk mencuri data, memanipulasi data, dan menyalahgunakan informasi pribadi. Ancaman yang dapat memengaruhi entitas IoT sangat bervariasi, tergantung pada target serangan [4].

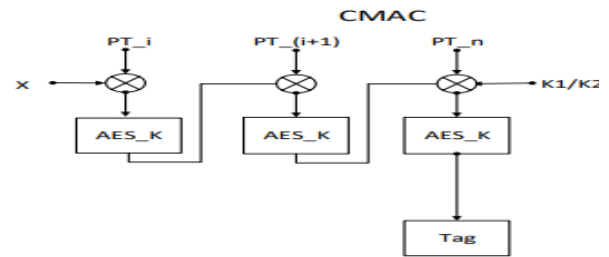
Pada sistem komunikasi LoRa terdapat beberapa ancaman serangan seperti *man in the middle attack* dan *eavesdropping*. *Man in the middle attack* merupakan serangan yang dilakukan oleh penyerang atau *attacker* dengan cara menyampaikan dan mengubah pesan saat dua pihak yang berwenang sedang berkomunikasi secara langsung[5]. *Eavesdropping attack* merupakan serangan yang pasif yang bertujuan untuk mengestrak data informasi yang ditransmisikan sehingga *plaintext* dapat dilihat. *Eavesdropping* dilakukan melalui proses *sniffing* terhadap data informasi (*payload*) yang dikirimkan melalui transmisi jaringan LoRa [3].

C. Constrained Device

Berdasarkan *resource*-nya, perangkat IoT dibagi menjadi dua yaitu *high-end IoT device* dan *low-end IoT device*. *High-end IoT device* merupakan perangkat IoT yang mampu menjalankan *operating system*, sedangkan *low-end IoT device* merupakan perangkat IoT yang kemampuan komputasinya dibatasi oleh *resource* yang tersedia pada perangkat. Pada *low-end IoT device* terdapat tiga kategori berdasarkan jumlah memori yang digunakan, yaitu kelas 0, kelas 1, dan kelas 2. Kelas 0 memiliki ukuran memori kurang dari 10 KiB dan ukuran flash kurang dari 100 KiB. Kelas 1 memiliki memiliki kapasitas memori sebesar 10 KiB dan flash 100 KiB. Kelas 2 memiliki kapasitas sumber daya terbesar daripada dua kelas sebelumnya. Kelas 2 memiliki



Gambar 4. Struktur Sponge SHA-3.



Gambar 5. Struktur AES-CMAC.

kapasitas memori sebesar 50 KiB dan flash sebesar 250 KiB [7]. Pada penelitian kali ini akan digunakan *constrained device* IoT kelas 2.

D. Advanced Encryption Standard

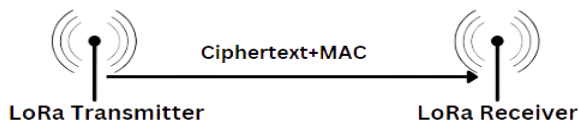
Advanced Encryption Standard (AES) merupakan *symmetric block cipher* yang mempunyai ukuran blok tetap. AES mendukung ukuran kunci 128, 192, dan 256 bits serta terdiri dari 10, 12, dan 14 *rounds* secara berturut-turut. Setiap *round* merupakan gabungan data dengan *round-key* yang diturunkan dari *encryption key*. Setiap *round* terdiri dari empat langkah pemrosesan yaitu *SubBytes*, *ShiftRows*, *MixColumns*, dan *AddRoundKey* [8], kecuali *round* terakhir yang hanya terdiri dari tiga proses yaitu *SubBytes*, *ShiftRows*, dan *AddRoundKey* [7]. Berikut ini adalah penjelasan dari masing-masing proses tersebut [8].

1. *SubBytes* merupakan substitusi *byte* dengan menggunakan tabel substitusi (s-box)
2. *ShiftRows* merupakan transposisi *byte* dengan cara menggeser baris blok data sesuai dengan *offsets* yang telah ditentukan.
3. *MixColumns* mengalikan setiap kolom dari blok data dengan polinomial modular dalam GF (28).
4. *AddRoundKey* merupakan proses untuk melakukan XOR antara *state* sekarang dengan *round key*.

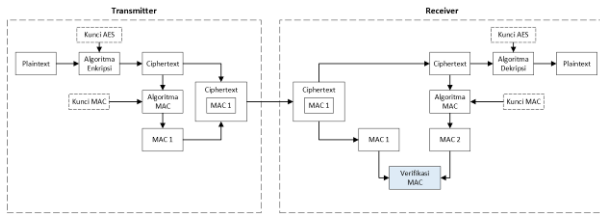
Proses dekripsi pada algoritma AES menggunakan transformasi *byte* pada invers cipher, yaitu *InvShiftRows*, *InvSubBytes*, *InvMixColumns*, dan *AddRoundKey*. *InvShiftRows* yaitu melakukan pergeseran hasil dari *Subbytes* secara *wrapping*. Pada *InvSubBytes* dilakukan konversi hasil dari *AddRoundKey* menggunakan nilai inverse s-box. Pada *InvMixColumns* dilakukan proses pengacakan data dengan melakukan perkalian antara matriks *public key* dengan matriks hasil *shiftrows* [4]. Gambar 2 menunjukkan proses enkripsi dan dekripsi AES.

E. Hash-based Message Authentication Code

Message Authentication Code (MAC) merupakan algoritma kriptografi yang digunakan untuk menjaga integritas dan autentikasi transmisi data [9]. Salah satu fungsi MAC yang sering digunakan adalah *Hash-based Message Authentication Code* (HMAC). HMAC merupakan mekanisme salah satu algoritma yang menjadi standar *The*



Gambar 6. Rancangan sistem komunikasi LoRa.



Gambar 7. Diagram blok sistem keamanan data.

National Institute of Standards and Technology (NIST). HMAC menghasilkan *Message Authentication Code* (MAC) dengan menggunakan operasi fungsi Hash yang dikombinasikan dengan *secret key* bersama [8]. Fungsi Hash berfungsi mengubah ukuran data yang acak ke dalam kumpulan data dengan panjang yang tetap [8]. Gambar 3 adalah struktur dari *Hash-based Message Authentication Code* (HMAC).

HMAC memiliki beberapa variasi tergantung fungsi Hash yang digunakan seperti SHA-1, SHA-2, dan SHA-3. *Secured Hash Algorithm* (SHA) dirancang untuk menjaga integritas data, dimana apabila terdapat sedikit saja perubahan pada data akan menghasilkan nilai hash yang jauh berbeda dari nilai aslinya [8]. Di antara beberapa versi SHA tersebut, SHA-3 merupakan standar terbaru yang diterbitkan oleh NIST pada tahun 2015. SHA-3 memiliki konstruksi struktur yang jauh berbeda bila dibandingkan dengan SHA-1 dan SHA-2 [8]. SHA-3 menggunakan konstruksi *sponge* seperti Gambar 4.

Konstruksi *sponge* terdiri dari modul *absorbing* dan modul *squeezing*. Sejumlah data akan diserap (*absorbed*) ke dalam *Hash state*, kemudian data tersebut akan diperas (*squeezed*) keluar dari *Hash state* [10].

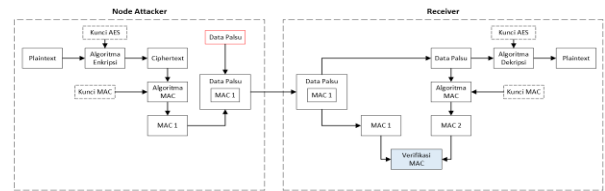
F. Cipher-based Message Authentication Code

Cipher-based Message Authentication Code (CMAC) merupakan algoritma kriptografi yang digunakan untuk autentikasi data. Pada algoritma CMAC sejumlah bit dari *plaintext* data dibagi ke dalam blok 128 bit. Apabila jumlah bit pada *plaintext* kurang dari 128 bit, *padding* akan ditambahkan untuk melengkapi jumlah bit agar menjadi 128 bit. *Plaintext* biasanya akan dienkripsi menggunakan algoritma AES dengan ukuran *secret key* 128 bit. Algoritma CMAC diimplementasikan dalam iterasi yang berurutan dengan *symmetric key* yang digunakan untuk menghasilkan dua *sub-key* [11]. Struktur AES-CMAC dapat dilihat pada Gambar 5.

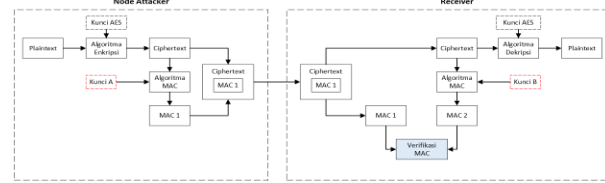
III. METODOLOGI

A. Perancangan Sistem

Pada penelitian ini akan dirancang sistem keamanan data pada transmisi LoRa dengan menggabungkan antara algoritma *Advanced Encryption Standard* (AES) dengan algoritma *Message Authentication Code* (MAC). Algoritma AES digunakan untuk proses enkripsi dan dekripsi data, sedangkan algoritma MAC digunakan untuk autentikasi data. Variasi algoritma AES yang akan digunakan yaitu AES-128



Gambar 8. Diagram blok pengujian integrity.



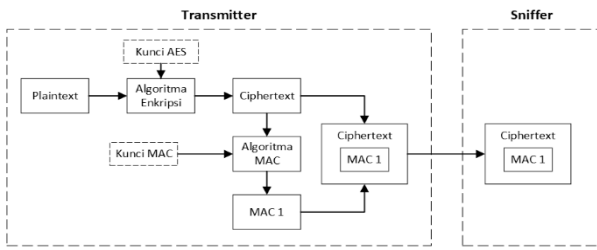
Gambar 9. Diagram blok pengujian authentication.

dan AES-256, sedangkan variasi algoritma MAC yang akan digunakan adalah HMAC-SHA3 dan AES-CMAC. Variasi Metode keamanan dengan menggabungkan algoritma enkripsi AES dan algoritma autentikasi CMAC & HMAC diharapkan dapat meningkatkan keamanan data pada sistem komunikasi LoRa dengan menjaga aspek *confidentiality*, *integrity*, dan *authentication* pada data yang ditransmisikan.

Sistem dibangun menggunakan skema komunikasi *point to point* antara LoRa *transmitter* dan LoRa *receiver*. Perangkat pada masing-masing sisi berupa *constrained device* kelas 0 yang telah disandingkan dengan modul LoRa. Untuk data yang ditransmisikan melalui LoRa berupa data teks dan gambar yang akan dienkripsi sehingga bentuk data tersebut bukan lagi *plaintext* melainkan *ciphertext*. Kemudian dari *ciphertext* tersebut akan dilakukan perhitungan nilai MAC untuk memastikan integritas pesan. Selanjutnya *ciphertext* dan nilai MAC akan dikirimkan secara bersamaan melalui LoRa. Skema sistem pada penelitian ini diilustrasikan oleh Gambar 6.

LoRa transmitter berperan sebagai pengirim data sedangkan LoRa receiver berperan sebagai penerima data. Pada sisi pengirim (LoRa *transmitter*) terdapat beberapa tahapan agar pesan dapat dikirimkan dengan aman. Tahap pertama yaitu melakukan enkripsi pesan berupa *plaintext*. *Plaintext* akan dienkripsi menggunakan algoritma AES sehingga menghasilkan *ciphertext* yang tidak bisa dibaca oleh pihak ketiga. Selanjutnya, dilakukan proses pembangkitan MAC dari *ciphertext* yang sudah dihasilkan sebelumnya. Setelah nilai MAC 1 berhasil dibangkitkan, dilakukan proses menggabungkan *ciphertext* dan nilai MAC 1 menjadi satu data. Data hasil proses penggabungan ini selanjutnya disebut dengan *payload* data dan akan dikirim kepada penerima (LoRa *receiver*) melalui transmisi LoRa.

Gambar 7 menunjukkan diagram blok sistem keamanan data. Pada sisi penerima (LoRa *receiver*), ada beberapa tahapan yang dilakukan agar *receiver* dapat mengetahui *plaintext* pesan dan memastikan keaslian pesan. Pada tahap awal, *payload* data yang diterima oleh *receiver* akan dilakukan proses untuk memisahkan *ciphertext* dengan nilai MAC 1 yang diterima dari *transmitter*. Pada *ciphertext* akan dilakukan proses dekripsi menggunakan algoritma AES sehingga didapatkan *plaintext* yang dapat dibaca oleh penerima. Selain itu, pada *ciphertext* juga akan dilakukan proses pembangkitan MAC pada sisi *receiver* sehingga akan dihasilkan nilai MAC 2. Kemudian untuk mengetahui keaslian pesan yang diterima, dilakukan proses verifikasi



Gambar 10. Diagram blok pengujian confidentiality.



Gambar 11. Implementasi perangkat.

MAC dengan membandingkan nilai MAC 1 yang dibangkitkan pada transmitter dengan nilai MAC 2 yang dibangkitkan pada sisi receiver. Apabila proses verifikasi nilai MAC 1 dan MAC 2 menunjukkan nilai yang sama, maka dapat dipastikan bahwa pesan yang diterima merupakan pesan asli dari pengirim. Sebaliknya apabila nilai MAC 1 dan MAC 2 berbeda, maka dapat dipastikan bahwa pesan yang diterima oleh receiver adalah palsu.

B. Pengujian Keamanan

Pengujian keamanan dilakukan untuk memastikan sistem telah memenuhi mekanisme keamanan confidentiality, integrity, dan authentication. Diagram blok pengujian integrity ditunjukkan oleh Gambar 8.

Integrity atau integritas data diuji dengan melihat kemampuan sistem untuk mendeteksi modifikasi data yang dilakukan oleh node attacker. Pengujian integritas dilakukan dengan menggunakan skenario dimana data yang dikirimkan diubah setelah proses generate MAC berhasil sehingga data yang diterima receiver tidak sesuai dengan data asli. Keberhasilan deteksi integritas dinilai berdasarkan kemampuan sistem untuk mendeteksi adanya perubahan pada data. Diagram blok pengujian authentication dapat dilihat pada Gambar 9.

Authentication atau autentikasi diuji dengan melihat kemampuan sistem dalam memverifikasi sumber data yang sah. Pengujian autentikasi dilakukan dengan menggunakan skenario dimana node attacker berusaha mengubah nilai MAC dengan menggunakan kunci autentikasi yang berbeda dari aslinya. Kunci yang berbeda menyebabkan nilai MAC yang dihasilkan juga berbeda dari aslinya. MAC hasil pembangkitan di node attacker ini kemudian digabungkan dengan data asli menjadi satu payload data untuk dikirimkan ke receiver. Selanjutnya receiver akan menerima payload data yang dikirim oleh attacker node. Receiver yang sudah diimplementasikan metode keamanan kriptografi kemudian memverifikasi keaslian data yang dikirimkan oleh node attacker. Proses verifikasi dilakukan dengan membandingkan nilai MAC yang dibangkitkan di receiver dengan nilai MAC yang dikirimkan oleh node attacker.

Keberhasilan autentikasi dinilai berdasarkan kemampuan sistem untuk mendeteksi perubahan kunci dan validasi



Gambar 12. Hasil proses sniffing pada pengujian tanpa metode keamanan.



Gambar 13. Hasil proses sniffing pada pengujian metode keamanan.

keaslian data. Hasil verifikasi MAC menunjukkan MATCH berarti kunci autentikasi antara penerima dan pengirim sama, sedangkan hasil verifikasi MAC menunjukkan UNMATCH berarti kunci autentikasi antara pengirim dan penerima berbeda.

Pengujian confidentiality bertujuan untuk memastikan bahwa data yang ditransmisikan melalui komunikasi LoRa tidak dapat dilihat plaintext-nya oleh penyerang sehingga kerahasiaan data akan terjamin. Pada pengujian ini akan ada node sniffer yang berperan untuk menyadap data yang ditransmisikan. Diagram blok pengujian confidentiality ditunjukkan oleh Gambar 10.

Aspek confidentiality atau kerahasiaan data diuji dengan melihat kemampuan algoritma enkripsi AES-128 dan AES-256 dalam menjaga data agar tidak dapat dibaca oleh pihak yang tidak berwenang. Pengujian confidentiality dilakukan dengan cara menangkap data yang sedang ditransmisikan oleh transmitter menggunakan node sniffer yang tidak memiliki kunci enkripsi. Data yang tertangkap oleh sniffer dianalisis untuk melihat apakah data tersebut dapat didekripsi tanpa kunci yang benar. Keberhasilan pengujian ini dinilai berdasarkan kemampuan node sniffer untuk membaca isi pesan yang sebenarnya.

C. Pengujian Overhead

Urutan Pengujian overhead dilakukan pada perangkat LoRa setelah diimplementasikan berbagai algoritma lightweight cryptography. Overhead yang dimaksud merujuk pada beban tambahan yang dikenakan pada perangkat akibat penggunaan algoritma kriptografi yang berbeda. Parameter overhead yang diujikan pada tugas akhir ini yaitu penggunaan flash, penggunaan memori, lama waktu enkripsi dan dekripsi pesan, waktu proses pembangkitan MAC, dan waktu verifikasi MAC.

IV. HASIL DAN PEMBAHASAN

A. Implementasi Perangkat

Komponen perangkat yang digunakan terdiri dari perangkat LoRa yang sudah terhubung ke antenna dan Arduino IDE. Berikut merupakan dokumentasi perangkat

Tabel 1.
Hasil Pengujian Confidentiality

No.	Metode Keamanan	Kondisi Pengujian
1.	Tanpa Metode Kriptografi	Sniffer dapat melihat plaintext
2.	AES 128 + CMAC	Sniffer hanya melihat ciphertext
3.	AES 256 + CMAC	Sniffer hanya melihat ciphertext
4.	AES 128 + HMAC	Sniffer hanya melihat ciphertext
5.	AES 256 + HMAC	Sniffer hanya melihat ciphertext

Tabel 1.
Hasil Pengujian Authentication

No.	Metode Keamanan	Kunci MAC	Kondisi Verifikasi MAC Pengujian
1.	AES 128 + CMAC	Sama / Berbeda	Match / Unmatch
2.	AES 128 + HMAC	Sama / Berbeda	Match / Unmatch
3.	AES 256 + CMAC	Sama / Berbeda	Match / Unmatch
4.	AES 256 + HMAC	Sama / Berbeda	Match / Unmatch

```

LoRa Receiver
LoRa Initializing OK!
Duration between packets: 6727232 us
Payload: 1 With RSSI: -101
A4 AE F5 37 9A F0 A0 C7 94 66 BC 50 64 68 6F FD 4F FE 13 72 F6 E3 AF 1D 4 A1 AA B1 55 56 65 B5
Cipher:A4 AE F5 37 9A F0 A0 C7 94 66 BC 50 64 68 6F FD
Plaintext:4B 61 6D 69 20 70 6F 65 74 72 61 20 64 61 6E 20
Decryption time: 4272 us
Received MAC:4F FE 13 72 F6 E3 AF 1D 4 A1 AA B1 55 56 65 B5
Generated MAC: 4F FE 13 72 F6 E3 AF 1D 4 A1 AA B1 55 56 65 B5
Generate MAC time: 3400 us
Verification: MATCH
MAC verification time: 608 us
    
```

Gambar 11. Hasil pengujian authentication apabila kunci sama.

yang digunakan selama proses pengujian. Gambar 11 menunjukkan kondisi pengujian, dimana selama proses pengujian perangkat LoRa diletakkan sejajar dengan tanah. Hal ini untuk memastikan bahwa sinyal yang dipancarkan dan diterima tidak terhalang oleh objek lain dan untuk menjaga konsistensi dalam pengujian.

B. Hasil Pengujian Confidentiality

Terdapat dua skenario pada pengujian confidentiality, yaitu tanpa metode keamanan dan menggunakan metode keamanan. Gambar 12 dan Gambar 13 merupakan hasil pengujian confidentiality.

Pada pengujian tersebut, sniffer berhasil menangkap data yang dikirimkan oleh transmitter melalui sistem komunikasi LoRa. Dalam proses pengujian ini, data yang ditransmisikan melalui LoRa berupa byte yang merepresentasikan teks sumpah pemuda. Setiap payload mengandung informasi 16 byte teks sumpah pemuda sehingga untuk payload 1 seharusnya berisi pesan “kami poeta dan ”. Untuk pengujian tanpa metode keamanan, transmitter hanya mengirimkan plaintext 16 byte untuk setiap payload tanpa adanya enkripsi dan penambahan nilai MAC. Sedangkan untuk pengujian dengan menggunakan metode keamanan, transmitter mengirimkan 16 byte ciphertext ditambah nilai MAC untuk setiap payload.

Selanjutnya data yang berhasil ditangkap oleh sniffer akan dilakukan proses encoding dari data byte ke teks. Terlihat dari hasil encoding bahwa plaintext hanya terlihat pada pengujian tanpa metode keamanan, sedangkan dengan metode keamanan yang diusulkan byte dikonversi menjadi karakter yang tidak terbaca. Hal ini membuktikan bahwa usulan metode keamanan kriptografi yang diterapkan pada sistem komunikasi LoRa dapat menjaga kerahasiaan data

```

LoRa Receiver
LoRa Initializing OK!
Duration between packets: 19821384 us
Payload: 1 With RSSI: -115
A4 AE F5 37 9A F0 A0 C7 94 66 BC 50 64 68 6F FD 97 4B 39 CF E 82 91 24 1D 4 70 5 13 1B B1 5E
Cipher:A4 AE F5 37 9A F0 A0 C7 94 66 BC 50 64 68 6F FD
Plaintext:4B 61 6D 69 20 70 6F 65 74 72 61 20 64 61 6E 20
Decryption time: 4264 us
Received MAC:97 4B 39 CF E 82 91 24 1D 4 70 5 13 1B B1 5E
Generated MAC: 4F FE 13 72 F6 E3 AF 1D 4 A1 AA B1 55 56 65 B5
Generate MAC time: 3416 us
Verification: UNMATCH
MAC verification time: 840 us
    
```

Gambar 15. Hasil pengujian authentication apabila kunci berbeda.

```

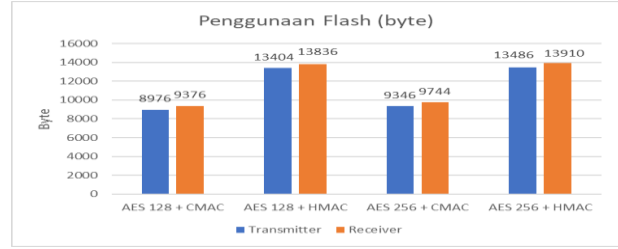
LoRa Receiver
LoRa Initializing OK!
Duration between packets: 6727232 us
Payload: 1 With RSSI: -101
A4 AE F5 37 9A F0 A0 C7 94 66 BC 50 64 68 6F FD 4F FE 13 72 F6 E3 AF 1D 4 A1 AA B1 55 56 65 B5
Cipher:A4 AE F5 37 9A F0 A0 C7 94 66 BC 50 64 68 6F FD
Plaintext:4B 61 6D 69 20 70 6F 65 74 72 61 20 64 61 6E 20
Decryption time: 4272 us
Received MAC:4F FE 13 72 F6 E3 AF 1D 4 A1 AA B1 55 56 65 B5
Generated MAC: 4F FE 13 72 F6 E3 AF 1D 4 A1 AA B1 55 56 65 B5
Generate MAC time: 3400 us
Verification: MATCH
MAC verification time: 608 us
    
```

Gambar 16. Hasil pengujian integrity pada data apabila pesan tidak dimodifikasi.

```

LoRa Receiver
LoRa Initializing OK!
Duration between packets: 4254496 us
Payload: 1 With RSSI: -117
C2 9A 29 5D 3F 36 DE 63 36 18 07 DE E7 70 F2 AE
Cipher:C2 9A 29 5D 3F 36 DE 63 36 18 07 DE E7 70 F2 AE
Plaintext:41 6E 64 61 20 6B 65 6E 61 20 70 72 61 6E 6B 21
Decryption time: 4272 us
Received MAC:4F FE 13 72 F6 E3 AF 1D 4 A1 AA B1 55 56 65 B5
Generated MAC: 4F FE 13 72 F6 E3 AF 1D 4 A1 AA B1 55 56 65 B5
Generate MAC time: 3416 us
Verification: UNMATCH
MAC verification time: 768 us
    
```

Gambar 17. Hasil pengujian integrity pada data teks apabila pesan dimodifikasi.



Gambar 18. Hasil pengujian flash dalam byte.

yang dikirimkan. Tabel 1 memuat detail keberhasilan pengujian untuk semua metode keamanan yang diterapkan pada sistem komunikasi LoRa.

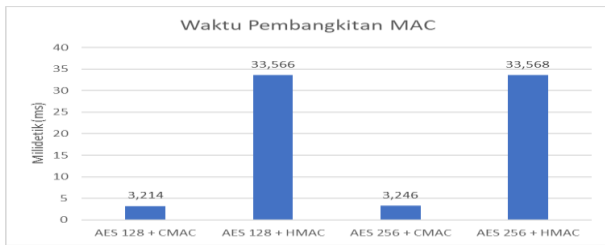
C. Hasil Pengujian Authentication

Terdapat dua skenario pada pengujian authentication, yaitu dengan kunci autentikasi yang sama antara pengirim dan penerima, serta dengan kunci autentikasi yang berbeda antara pengirim dan penerima. Gambar 14 dan Gambar 15 merupakan hasil pengujian authentication.

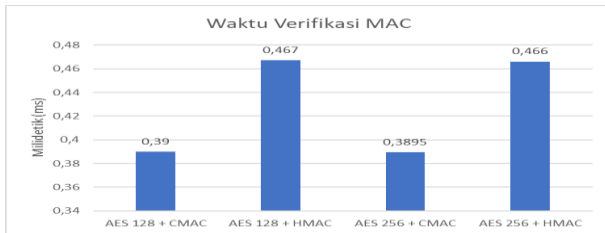
Berdasarkan hasil pengujian authentication, sistem telah berhasil mendeteksi apabila ada kiriman payload yang bukan berasal dari pihak yang berwenang. Hasil verifikasi UNMATCH menunjukkan bahwa pengirim memiliki kunci yang berbeda dari kunci penerima, sedangkan hasil verifikasi MATCH menunjukkan kunci yang sama digunakan antara pengirim dan penerima. Detail keberhasilan pengujian aspek authentication pada metode keamanan yang diusulkan dapat dilihat pada Tabel 2.

D. Hasil Pengujian Integrity

Berdasarkan hasil pengujian integrity, semua metode keamanan yang diusulkan mampu mendeteksi adanya perubahan data yang terjadi. Gambar 16 merupakan hasil pengujian integrity untuk kondisi pesan tidak dimodifikasi setelah proses pembangkitan MAC berhasil dilakukan. Gambar 16 menunjukkan kondisi verifikasi MAC bernilai MATCH yang berarti sistem berhasil mendeteksi bahwa data yang dikirim tidak dilakukan modifikasi. Berikut merupakan hasil pengujian integrity untuk kondisi pesan yang dimodifikasi setelah proses pembangkitan MAC berhasil dilakukan.



Gambar 23. Hasil pengujian waktu pembangkitan MAC.



Gambar 24. Hasil pengujian waktu verifikasi MAC.

I. Waktu Verifikasi MAC

Pengujian ini mengukur waktu yang diperlukan untuk melakukan verifikasi bahwa MAC yang diterima sesuai dengan MAC yang dihasilkan oleh pengirim. Nilai waktu verifikasi MAC diambil dari nilai rata-rata dalam satu kali perulangan pengiriman data yang terdiri dari 16 *payload*. Gambar 24 menunjukkan hasil pengukuran dalam milidetik (ms).

Waktu verifikasi MAC yang cepat penting untuk memastikan integritas pesan yang diterima dengan cepat. Hasil pengukuran menunjukkan bahwa Algoritma autentikasi CMAC memiliki waktu verifikasi yang paling cepat daripada algoritma autentikasi HMAC.

V. KESIMPULAN

Penerapan algoritma *lightweight cryptography* pada sistem komunikasi LoRa berhasil mengamankan data dengan baik, terbukti dari kemampuannya dalam menjaga integritas, autentikasi, dan kerahasiaan data yang dikirimkan melalui jaringan komunikasi LoRa. Algoritma AES 128 menunjukkan kinerja waktu komputasi enkripsi dan dekripsi yang lebih cepat dibandingkan dengan AES 256. Algoritma CMAC juga lebih cepat dalam pembangkitan dan verifikasi MAC dibandingkan HMAC.

Penelitian ini menunjukkan bahwa metode keamanan yang diusulkan sangat sesuai untuk diterapkan pada perangkat dengan sumber daya terbatas seperti *constrained device* kelas

0, dimana kombinasi algoritma AES 128 + CMAC menggunakan paling sedikit sumber daya. Meskipun terdapat perbedaan dalam tingkat keamanan antara berbagai algoritma yang digunakan, penggunaan AES 128 + CMAC telah terbukti memberikan keseimbangan yang baik antara keamanan, efisiensi sumber daya dan waktu komputasi.

DAFTAR PUSTAKA

- [1] R. I. Lestari, "Implementasi Pengamanan pada Jaringan LoRaWAN untuk Mengatasi Serangan Sniffing dengan Menggunakan Metode Digital Signature," Departemen Informatika, Universitas Telkom, Bandung, 2020.
- [2] P. A. Windya, "Penerapan Keamanan Komunikasi pada Jaringan LoRa(Long Range) Menggunakan Algoritma Advanced Encryption Standard(AES) dan Message Authentication Code(MAC)," Departemen Informatika, Universitas Telkom, Bandung, 2021.
- [3] P. A. Windya, V. Suryani, and A. A. Wardana, "Sniffing prevention in lora network using combination of advanced encryption standard (aes) and message authentication code (mac)," in *2021 International Conference Advancement in Data Science, E-learning and Information Systems (ICADEIS)*, Nusa Dua, Bali, IEEE, Oct. 2021, pp. 1–5, doi: 10.1109/ICADEIS52521.2021.9702081.
- [4] A. Rachmayanti and W. Wirawan, "Implementasi algoritma advanced encryption standard (AES) pada jaringan internet of things (IoT) untuk mendukung smart healthcare," *J. Tek. ITS*, vol. 11, no. 3, pp. 217–222, 2022, doi: 10.12962/j23373539.v11i3.97042.
- [5] N. Andiyani, A. Kusyanti, and R. A. Siregar, "Implementasi man in the middle attack pada algoritme Blake2s berbasis LoRa," *Ikraith-Informatika*, vol. 6, no. 2, pp. 98–103, 2022.
- [6] Q. Zhou, K. Zheng, L. Hou, J. Xing, and R. Xu, "Design and implementation of open LoRa for IoT," *IEEE Access*, vol. 7, pp. 100649–100657, 2019, doi: 10.1109/ACCESS.2019.2930243.
- [7] A. Fauzan, P. Sukarno, and A. A. Wardana, "Overhead analysis of the use of digital signature in mqtt protocol for constrained device in the internet of things system," in *2020 3rd International Conference on Computer and Informatics Engineering (IC2IE)*, Yogyakarta, IEEE, Sep. 2020, pp. 415–420, doi: 10.1109/IC2IE50715.2020.9274651.
- [8] V. K. Sarker, T. N. Gia, H. Tenhunen, and T. Westerlund, "Lightweight security algorithms for resource-constrained iot-based sensor nodes," in *ICC 2020 - 2020 IEEE International Conference on Communications (ICC)*, Dublin, Ireland, IEEE, Jun. 2020, pp. 1–7, doi: 10.1109/ICC40277.2020.9149359.
- [9] R. Dilli and P. C. S. Reddy, "Implementation of security features in manets using sha-3 standard algorithm," in *2016 International Conference on Computation System and Information Technology for Sustainable Solutions (CSITSS)*, Bengaluru, India, IEEE, Oct. 2016, pp. 455–458, doi: 10.1109/CSITSS.2016.7779410.
- [10] J. Li, L. Wu, and X. Zhang, "An efficient hmac processor based on the sha-3 hash function," in *2017 IEEE 12th International Conference on ASIC (ASICON)*, Guiyang, China, IEEE, Oct. 2017, pp. 252–255, doi: 10.1109/ASICON.2017.8252460.
- [11] S. J. Hussain Pirzada, A. Murtaza, M. N. Hasan, T. Xu, and L. Jianwei, "The Implementation of Aes-cmac authenticated encryption algorithm on fpga," in *2019 IEEE 2nd International Conference on Computer and Communication Engineering Technology (CCET)*, Beijing, China, IEEE, Aug. 2019, pp. 193–197, doi: 10.1109/CCET48361.2019.8989202.